

京都大学工学部

正員

山田善一

京都大学工学部

正員

○渡辺英一

京都大学工学部

正員

河野健二

1. まえがき

本研究は薄板の大変形解析を目的として、FEMによる問題の定式化を行ひ、プログラムを開発し、箱桁や、プレートガーダーの耐荷力の解析に応用しようとするものである。FEM要素は長方形であり、四辺に板厚に関する対称に配置された、縦、横の補剛材をも考えている(Fig. 1 参照)。

2. FEMによる定式化と剛性マトリックス

いま、変位成分 u, v, w を考え、節点での面内変位を $u_i (i=1, \dots, 8)$ 面外変位を $w_i (i=1, \dots, 12)$ とする。また、要素の境界に沿う長さを a 、ねじり回転角を ϕ 、ねじり剛性、曲げねじり剛性、断面極二次モーメントを GJ_s, EC_{lw}, I_{sp} とする。さらに添字 E, I でそれぞれ弾性部、初期変形部分を示す。

i) 変位: $u = \alpha_u u_k ; v = \alpha_v u_{k+4} (k=1, \dots, 4)$ (1)

 $w = \beta_w w_k (k=1, \dots, 12)$

ii) ひずみ: $\varepsilon_i = B_{ik}^P u_k + \frac{1}{2} B_{ikl}^{BB} w_k w_l + B_{ik}^B w_k$ (2)

$\frac{d\phi}{dx} = B_{ik}^\phi w_k ; \quad \frac{d^3\phi}{dx^3} = B_{ik}^\phi w_k$ (3)

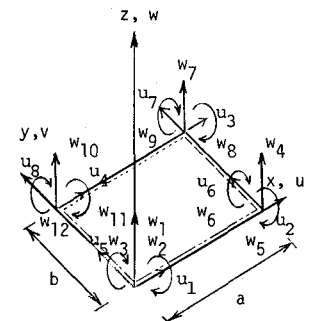


Fig. 1.

iii) 応力-ひずみ関係:

$\sigma_i = D_{ij} \varepsilon_j$ (4)

iv) ひずみエネルギー: $\text{U} = \int \int \int \sigma_i d\varepsilon_i dV + \frac{1}{2} \int \{ GJ_s \left(\frac{d\phi}{dx} \right)^2 + O_I I_{sp} \left(\frac{d\phi}{dx} \right)^2 + EC_{lw} \left(\frac{d^3\phi}{dx^3} \right)^2 \} dx$ (5)

すなわち, $\text{U} = \frac{1}{2} K_{ij}^* \delta_i \delta_j ; \quad (\delta)^T = (u_1, u_2, \dots, u_8, w_1, w_2, \dots, w_{12})$ (6)

v) つり合式: $P_i = \frac{\partial U}{\partial \delta_i} = K_{ij}^{**} \delta_j$ (7)

vi) 振幅増分式: $\dot{P}_i = \frac{\partial P_i}{\partial \delta_j} \dot{\delta}_j = K_{ij}^{***} \dot{\delta}_j$ (8)

vii) 割線増分式: $\Delta P_i = \{ P_i(\delta + \Delta \delta) - P_i(\delta) \} / \Delta \delta_j \cdot \Delta \delta_j = \tilde{K}_{ij} \Delta \delta_j$ (9)

ただし

$[K^*] = [K_0] + \frac{1}{3} [K_I] + \frac{1}{6} [K_{II}] ; \quad [K^{**}] = [K_0] + \frac{1}{2} [K_I] + \frac{1}{3} [K_{II}] \quad \} \quad (10)$

$[K^{***}] = [K_0] + [K_I] + [K_{II}]$

$[K_0] = \begin{bmatrix} K_{ij}^P & | (K_{ijk}^{PB} + K_{ijk}^\phi) w_k^I \\ \hline | & | \\ (K_{jik}^{PB} + K_{jik}^\phi) w_k^I & | K_{ij}^B + K_{ij}^\phi + (K_{ijk}^{BB} + K_{ijk}^\phi) w_k^I w_l^I \end{bmatrix} \quad \} \quad (11)$

$$[K_I] = \begin{pmatrix} 0 & (K_{ij\ell k}^{PB} + K_{ij\ell k}^\phi) w_k^E \\ \cdots & \cdots \\ (K_{jik\ell}^{PB} + K_{jik\ell}^\phi) w_k^E & (K_{kij\ell}^{PB} + K_{kij\ell}^\phi) w_k^E + 3(K_{ij\ell k}^{BB} + K_{ij\ell k}^\phi) \end{pmatrix}; [K_{II}] = \begin{pmatrix} 0 & 0 \\ \cdots & \cdots \\ 0 & (\frac{3}{2}K_{ij\ell k}^{BB} + K_{ij\ell k}^\phi) w_k^E w_k^E \end{pmatrix}$$

$$\left. \begin{aligned} K_{ij}^P &= \int_V D_{mn} B_{mi}^P B_{nj}^P dV; \quad K_{ij\ell k}^{PB} = \int_V D_{mn} B_{mi}^P B_{nj\ell k}^{BB} dV; \quad K_{ij\ell k}^{BB} = \int_V D_{mn} B_{mi}^{BB} B_{nj\ell k}^{BB} dV \\ K_{ij}^B &= \int_V D_{mn} B_{mi}^B B_{nj}^B dV; \quad K_{ij}^\phi = \int_s (GJ_x B_{1\ell k}^\phi B_{1\ell k}^\phi + EC_{dw} B_{2\ell k}^\phi B_{2\ell k}^\phi) ds \\ K_{ij\ell k}^\phi &= \int_s E_m I_{dp} B_{mi}^P B_{ij}^\phi B_{1\ell k}^\phi ds; \quad K_{ij\ell k}^\phi = \int_s E_m I_{dp} B_{mij}^{BB} B_{1\ell k}^\phi B_{1\ell k}^\phi ds \end{aligned} \right\} (12)$$

3. 線形化法

線形化法に関しては多くの手法が開発されているが、文献1にうまく分類されている。本研究ではこのうち擾動法、Newton-Raphson 法、修正荷重増分法を主として用いている。

4. 数値解析例

- (1) 正方形板、等分布横荷重満載 (Fig. 2): 周辺固定
- (2) 正方形板、面内一方向圧縮 (Fig. 3): 周辺単純支持
- (3) 正方形板、面内せん断 (Fig. 4): 周辺単純支持

5. あとがき

各種の剛性マトリックスは式(10)～(12)に与えられておりが、何れも四角形で計算である。線形化の手法として何を選ぶかが問題になるがそれは式(7)の誤差の評価と密接な関係にある。ただ、補剛材のない場合は、擾動法、修正荷重増分法、Newton-Raphson 法による解の差異は適当な増分を考慮した場合微小と考えられる。補剛材のある場合の例については、発表時にスライドで説明する。

なお、数値計算とプログラミングに関して、大学院修了の日本钢管、中村公信氏の多大の貢献を感謝する。

6. 参考文献

- 1) Haisler, W.E., J.A. Stricklin, and F. J. Stebbings: Development and Evaluation of Solution Procedures for Geometrically Nonlinear Structural Analysis, AIAA Journal Vol. 10, No. 3, pp. 264-272, 1972.

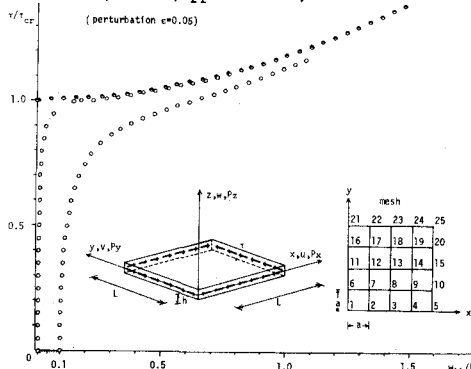


Fig. 2.

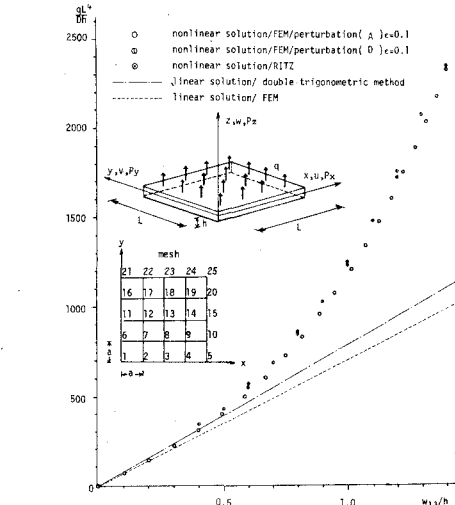


Fig. 2.

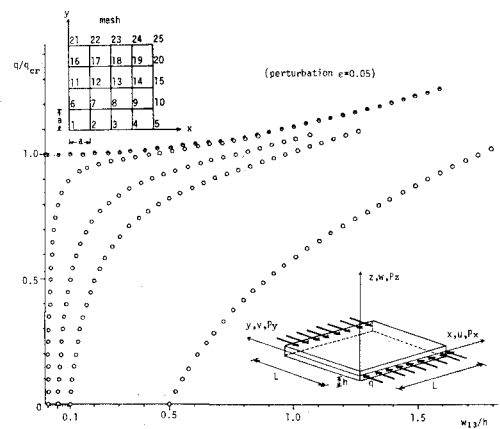


Fig. 3.